

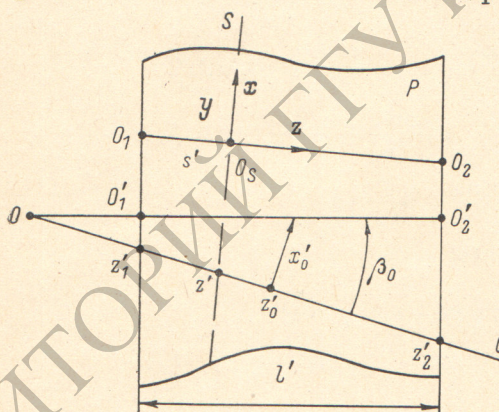
УДК 621.373 : 535

**СВОЙСТВА КОЛЬЦЕВОГО ОПТИЧЕСКОГО РЕЗОНАТОРА  
С РАЗЬЮСТИРОВАННОЙ ПРОСТРАНСТВЕННО  
НЕОДНОРОДНОЙ СРЕДОЙ**

B. F. Бойцов и A. Г. Владимираев

Показано, что существует различие в пространственном распределении полей встречных волн, обусловленное разьюстировкой. Она приводит к тому, что оси каустик встречных волн не совпадают, и встречные пучки на торцах среды и на зеркалах образуют два пятна. Фазовые фронты испытывают поворот и изменяют свою кривизну. Частотный спектр резонатора содержит добавку, линейную по разьюстировке.

Рассмотрим кольцевой резонатор, состоящий из двух плоских и одного сферического зеркала радиуса  $R$ . Зеркала полагаем достаточно большими и пренебрегаем дифракцией на их краях. Внутри резонатора находится среда  $P$  с комплексным показателем преломления, изменяющимся по «квадратичному» закону



$$n(r) = 1 + \frac{\chi^{(1)}}{kl'} \left( 1 - \frac{N_p k}{L} r^2 \right),$$

$$N_p = \frac{L}{ka_p^2}. \quad (1)$$

Система координат, описывающая разьюстированную среду  $P$ .

Ось  $z'$  ортогональна плоскости чертежа. Сечение  $S$  ортогонально линии  $O_1O_2$  и находится на расстоянии  $s'$  от левого торца среды  $P$ .

Здесь  $r$  — расстояние, отсчитываемое от оси симметрии среды  $O'_1O'_2$  (см. рисунок),  $k$  — волновое число,  $L$  — длина осевого контура пустого резонатора,  $a_p$  — эффективный поперечный размер среды  $P$ .  $\chi^{(1)} = \chi_1^{(1)} - i\chi_2^{(1)}$ , где  $\chi^{(1)}$  характеризует дисперсию вещества, а  $\chi_2^{(1)}$  — его усиление на оси  $O'_1O'_2$ . Разьюстировка среды  $P$  происходит в плоскости осевого контура и задается с помощью смещения центра среды на  $x'_0$  и поворота ее оси на угол  $\beta_0$  относительно оптической оси  $OO'$  пустого резонатора. Предполагается выполнение неравенств

$$x_0 \equiv x'_0/L \ll 1, \quad \beta_0 \ll 1.$$

Координаты торцов среды  $z'_1$  и  $z'_2$  и ее центра  $z'_0$  отсчитываются от сферического зеркала.  $O_1O_2$  — часть осевого контура резонатора с учетом разьюстировки среды. Расчет этого контура для «короткой» трубы ( $l' \ll L$ ) в приближениях «неоднородной» и «однородной» в поперечном направлении среды, обеспечивающих устойчивость оптической оси при разьюсти-

ровке, приведен в [1]. Вычисления проведены с точностью до величин, линейных по разъюстировке.

Для приближения «неоднородной» среды при разъюстировке сдвиг осевого луча пропорционален  $\chi_1^{(1)} N_p x'_0 / L$  и не зависит от  $\beta_0$ . Для приближения «однородной» среды сдвиг осевого луча пропорционален  $\chi_1^{(1)} / kL \beta_0$  и не зависит от  $x'_0$ .

Поля встречных волн в резонаторе, его пороговое усиление и частотный спектр рассчитаны нами методом интегральных уравнений [2].

Приведем формулы для пространственного распределения поля основной моды для волны, распространяющейся внутри среды по часовой стрелке

$$\Phi(x', y', z') = \prod_{\tau=x, y} C_\tau(z) \varphi_\tau(\tau) \varphi_{1\tau}(\tau) \varphi_{2\tau}(\tau). \quad (2)$$

Здесь  $x'$ ,  $y'$  и  $z'$  — размерные координаты, отсчитываемые вдоль ортов прямоугольной системы (x, y, z), изображенной на рисунке,

$$x = x' \sqrt{k/L}, \quad y = y' \sqrt{k/L}, \quad z = z'/L. \quad (3)$$

Функция  $\varphi_\tau(\tau) = \exp\{-Q_{0\tau}(z)\tau^2/2\}$  не зависит от разъюстировки, выражение для  $Q_{0\tau}(z)$  содержится в [2, 3]. Функция  $\varphi_{1\tau}(\tau)$  не зависит от разъюстировки и имеет вид

$$\varphi_{1\tau}(\tau) = \exp\left\{-\frac{\chi^{(1)}}{2kL} W_\tau(z) \tau^2\right\}, \quad (4)$$

$w_\tau(z)$  приведено в Приложении. Функция  $\varphi_{2\tau}(\tau)$  определяется разъюстировкой

$$\varphi_{2\tau}(\tau) = \exp\left\{-\frac{1}{2} [\Delta A_\tau \tau^2 - i \Delta B_\tau \tau^2 - i \Delta D_\tau \tau]\right\}. \quad (5)$$

Выражения  $\Delta A_\tau$ ,  $\Delta B_\tau$  и  $\Delta D_\tau$  в приближении «неоднородной» и «однородной» среды приведены в Приложении.

В нашем случае функция  $\Phi(x', y', z')$  удовлетворяет параболическому уравнению

$$\frac{\partial^2 \Phi}{\partial x'^2} + \frac{\partial^2 \Phi}{\partial y'^2} + 2ik \frac{\partial \Phi}{\partial z'} = -2k \left[ \frac{\chi^{(1)}}{l'} - k_2 (x'^2 + y'^2) + k_1 x' \right] \Phi, \quad (6)$$

аналогичному уравнению из работы [4]. Подставляя функцию  $\Phi$  в виде (2) в уравнение (6), используя приближение «короткой» трубы и малость разъюстировки, получаем  $k_2 = \chi^{(1)} N_p k / l' L$ ,  $k_1 = 2\chi^{(1)} N_p x'_0 / l' L$  в случае «неоднородной» среды и  $k_1 = 0$  — в случае «однородной». Тогда величина в квадратных скобках в формуле (6) может быть преобразована в выбранных приближениях к виду

$$\frac{\chi^{(1)}}{l'} \left[ 1 - \frac{N_p k}{L} ((x' - x'_0)^2 + y'^2) \right]$$

и пропорциональна коэффициенту диэлектрической восприимчивости из (1) для квадратичной среды, ось симметрии которой смешена относительно оптической оси на  $x'_0$ . Одновременно с коэффициентами  $k_1$  и  $k_2$  из уравнения (6) определяются функции  $C_\tau(\tau)$  из (2)

$$C_\tau(z) = C_\tau |Q_\tau(z)|^{1/2} \exp\left\{\frac{1}{2} \left[ i \arg(Q_\tau(z)) - \int_{z_1}^z \frac{2k_2 d\bar{z}}{Q_\tau(\bar{z})} \right]\right\}. \quad (7)$$

Здесь  $C_\tau$  — произвольная комплексная постоянная,  $k'_2 = \chi^{(1)} N_p / l$ ,

$$Q_\tau(z) = -\Delta B_\tau - i \left[ Q_{0\tau}(z) + \frac{\chi^{(1)}}{kL} W_\tau(z) + \Delta A_\tau \right]. \quad (8)$$

Выражение для функции  $C_\tau(z)$  можно получить также с помощью принципа Кирхгофа, путем интегрирования функции пространственного распределения  $\prod_{\tau=x, y} \varphi_\tau(\tau) \varphi_{1\tau}(\tau) \varphi_{2\tau}(\tau)$  поля по некоторому фиксированному

сечению внутри среды. В этом случае переменная  $z$  в  $C_\tau(z)$  будет отсчитываться от этого фиксированного сечения.

В Приложении выписаны значения интеграла из показателя экспоненты в (7) и  $|Q_\tau(z)|^2$ .

Приведем вид моды с попечными индексами  $m$  и  $n$  для волны, бегущей по часовой стрелке

$$\begin{aligned} \Phi_{mn}(x', y', z') = & \Phi(x', y', z') \left( \frac{C_x^2(z)}{\sqrt{A_x + \Delta A_x}} \right)^m \times \\ & \times \left( \frac{C_y^2(z)}{\sqrt{A_y + \Delta A_y}} \right)^n H_m[\sqrt{A_x + \Delta A_x}(x + \Delta)] H_n[\sqrt{A_y + \Delta A_y}y], \end{aligned} \quad (9)$$

где функция  $\Phi(x', y', z')$  определена в (2), а  $H_m$  и  $H_n$  — полиномы Эрмита.  $A_\tau$  зависят от  $z$  и совпадают с функциями  $U^2(z)$  из формулы (4-28) работы [3]. Величина  $\Delta$  приведена в Приложении.

Для получения функции пространственного распределения встречной волны нужно в выражениях, входящих в формулы (2) и (9), сделать замену  $z \rightarrow (1-z)$ ,  $z_1 \rightarrow (1-z_2)$ ,  $z_2 \rightarrow (1-z_1)$ ,  $\beta_0 \rightarrow -\beta_0$ . Переменная  $s=z-z_1$ , встречающаяся в Приложении, при переходе к встречной волне заменяется на  $l-s=z_2-z$ .

Полученные результаты справедливы также, когда на сферическом зеркале находится «гауссова» диафрагма с «эффективной» полушириной  $a$  и центром, расположенным на оптической оси. Безразмерный параметр дифракции  $N=L/ka^2 \ll 1$ . Если пренебречь членами, пропорциональными  $x_0 N$  и  $\beta_0 N$ , то смещение центра диафрагмы на величину порядка разъюстровки оказывается несущественным. В этом случае диафрагма дает вклад лишь в функцию  $\varphi_\tau(\tau)$  [2, 3].

Пороговое усиление основной моды  $\kappa_2$  не содержит поправок, линейных по разъюстровке, и имеет вид

$$\begin{aligned} \kappa_2 = & \left[ \gamma + \frac{1}{2} \left( \frac{N_x}{\sqrt{1-g_{0x}^2}} + \frac{N_y}{\sqrt{1-g_{0y}^2}} \right) \right] \left[ 1 - \frac{1}{kL} \left( \sqrt{\frac{1-g_{0x}}{1+g_{0x}}} + \right. \right. \\ & \left. \left. + \sqrt{\frac{1-g_{0y}}{1+g_{0y}}} \right) P(N_p) \right] P(N_p), \end{aligned} \quad (10)$$

где  $\gamma$  — коэффициент пропускания зеркала. Эта формула переходит в (6) из работы [5], если пренебречь слагаемым, пропорциональным  $1/kL$ .

$$g_{0x} = 1 - (1-g_0)/\cos \alpha, \quad g_{0y} = 1 - (1-g_0) \cos \alpha, \quad g_0 = 1 - \frac{L}{R}. \quad (11)$$

Множитель  $P(N_p)$  приведен в Приложении.

Частотный спектр резонатора, когда основная мода находится на пороге, определяется формулой

$$\nu_{qmn} = \nu_{qmn}^{(0)} - \frac{c}{2\pi L} \left[ \kappa_1 - \sum_{\tau=x, y} \left( h_\tau + \frac{1}{2} \right) \left( (\varphi_\tau(N_\tau, N_p) - \frac{\kappa_1 \Delta g_\tau}{\sqrt{1-g_{0\tau}^2}}) \right) \right], \quad (12)$$

где  $h_x=m$ ,  $h_y=n$ ,  $\kappa_1$  характеризует дисперсию на резонаторной частоте. Выражение для  $\varphi_\tau$  находится в Приложении,  $\nu_{qmn}^{(0)}$  — спектр пустого резонатора [3], в приближении «неоднородной» среды

$$\Delta g_x = -x_0 N_p (1-g_{0x}) \operatorname{tg} \alpha, \quad \Delta g_y = x_0 N_p (1-g_{0y}) \operatorname{tg} \alpha, \quad (13)$$

в приближении «однородной» среды

$$\Delta g_x = \Delta g_y = 0. \quad (14)$$

Частотный спектр резонатора  $\nu_{qmn}$  (12) содержит слагаемые, линейные по разъюстровке (см. (13), (14)). Поясним их происхождение. Если при выводе ядра интегрального уравнения рассчитать кубичные по смещениям

члены (первая aberrация), то при разъюстировке резонатора они приведут к возникновению добавок, пропорциональных разъюстировке и квадратичных по смещениям. Не зависящие от разъюстировки части первой aberrации нами не учитываются. Аналогичные добавки ( $\Delta A_\tau$  и  $\Delta B_\tau$ ) входят в функции  $\varphi_{2\tau}(\tau)$  из (5). Подчеркнем, что они входят не только в функцию  $\varphi_{2x}(x)$ , но и в функцию  $\varphi_{2y}(y)$ , хотя разъюстировка происходит только в плоскости (x, z).

Перейдем к анализу влияния разъюстировки на пространственное распределение собственных полей. Разъюстировка создает дополнительную деформацию к полям, полученным в работе [6]. Она определяется членами  $\Delta A_\tau$ ,  $\Delta B_\tau$  и  $\Delta D_x$  из формулы (5). Представим  $\Delta D_x$  в виде суммы двух слагаемых  $\Delta D_{1x}$  и  $\Delta D_{2x}$ , определенных формулой (П. 6). При переходе к встречной волне величины  $\Delta A_\tau$  и  $\Delta D_{2x}$  остаются неизменными, а  $\Delta B_\tau$  и  $\Delta D_{1x}$  изменяют свой знак, определяя дополнительную невзаимность. Деформация полей зависит от положения  $z_0$  центра среды P и от параметра конфокальности  $g_0$ . В приближении «неоднородной» среды деформация полей пропорциональна  $x_0^{(1)}N_p x_0$ , а в приближении «однородной»  $x_0^{(1)}\beta_0/kL$ . Поэтому в первом случае разъюстировка  $x_0$  оказывает на свойства резонатора более сильное влияние, чем разъюстировка  $\beta_0$  во втором случае. В приближении «однородной» среды диафрагма создает обычно большую невзаимность, чем разъюстировка. На практике разъюстировка широких трубок не должна приводить к существенной деформации полей.

В приближении «однородной» среды оси каустик (центры тяжести световых пучков) при разъюстировке совпадают с оптической осью. Для «неоднородной» среды оси каустик встречных волн не совпадают. Они пересекаются в сечении  $z_0$  на оптической оси.

Расстояние  $\delta(s)$  между осями в разных сечениях среды выражается формулой

$$\delta(s) = \sqrt{\frac{L}{k}} \frac{p_{0x}^2(z_0) \operatorname{Im} \Delta D_{1x}}{\sqrt{1 - g_{0x}^2}} = \frac{2x'_0 x_0^{(1)} N_p p_{0x}^2(z_0) \left(1 - \frac{2s}{l}\right)}{\sqrt{1 - g_{0x}^2}}. \quad (15)$$

Неколлинеарность пучков встречных волн приводит к появлению двух световых пятен на торцах среды и зеркалах. Расстояние между центрами этих пятен на торцах среды для случая  $x'_0 = 5 \cdot 10^{-2}$  см,  $z_0 = 0.2$ ,  $g_{0x} = 0.7$ ,  $x_0^{(1)}N_p = 2 \cdot 10^{-2}$  равно  $2.5 \cdot 10^{-3}$  см. Отметим, что невзаимность  $\delta(s)$  носит чисто дифракционный характер и нельзя сделать потери волн разными, «диафрагмируя» одну из них.

В результате разъюстировки поверхности одинаковых фаз полей испытывают поворот относительно осей каустик и изменяют свою кривизну. Линии постоянной амплитуды поля не ортогональны эквифазовым поверхностям. Объемы полей при разъюстировке изменяются для встречных волн одинаковым образом.

Следует особо выделить резонаторы, близкие к «плоскому», для которых деформации полей за счет разъюстировки малы. Наиболее значительное изменение полей имеет место у резонаторов, близких к концентрическому ( $g_{0x} \geq -1$ ). Это связано с неустойчивостью осевого контура при разъюстировке [4]. При помещении центра среды в точку  $z_0 = 0.5$  в приближении «неоднородной» среды разъюстировка оказывается только в смещении осей каустик.

Величины  $\Delta A_\tau$  и  $\Delta B_\tau$  в наших приближениях вещественны. Эти добавки могут быть получены, если в собственных функциях неразъюстированного резонатора сделать замены

$$\alpha \rightarrow \alpha + \Delta \alpha, \quad z' \rightarrow z' - \Delta x_1 \sin \alpha. \quad (16)$$

$\Delta \alpha$  и  $\Delta x_1$  пропорциональны разъюстировке.  $\Delta \alpha$  — изменение угла, который осевой контур составляет с нормалью к сферическому зеркалу, вызванное

разъюстировкой,  $\Delta x_1$  — смещение осевого контура на сферическом зеркале. В приближении «неоднородной» среды

$$\Delta x = \chi_1^{(1)} N_p x_0, \quad \Delta x_1 = \frac{\chi_1^{(1)} N_p x'_0 (1 - 2z_0)}{(1 + g_{0x}) \cos \alpha}, \quad (17)$$

а в приближении «однородной» среды

$$\Delta x = 0, \quad \Delta x_1 = \frac{\chi_1^{(1)} \beta_0}{k (1 + g_{0x}) \cos \alpha}. \quad (18)$$

Линейная по разъюстировке поправка к собственным частотам резонатора также может быть получена с помощью замен (16) в собственных частотах неразъюстированного резонатора.

## ПРИЛОЖЕНИЕ

Функции  $W_\tau(z)$  выражаются формулой

$$W_\tau(z) = \left[ g_{0\tau} - (1 - g_{0\tau}) \left( 1 - \frac{2s}{l} \right) (2z - 1) \right] [\sqrt{1 - g_{0\tau}^2} - i (2z - 1) (1 - g_{0\tau})] \times \\ \times (p_{0\tau}^2(z))^{-2} - \left[ \sqrt{\frac{1 - g_{0\tau}}{1 + g_{0\tau}}} g_{0\tau} + i \left( 1 - \frac{2s}{l} \right) (1 - g_{0\tau}) \right] (p_{0\tau}^{2\tau}(z))^{-1} \quad (\tau = x, y), \\ s = s'/L, \quad p_{0\tau}^2(z) = 1 - 2z(1 - z)(1 - g_{0\tau}). \quad (\text{П. 1})$$

В приближении «неоднородной» среды имеем

$$\Delta A_x = x_0 \chi_1^{(1)} N_p \frac{\sqrt{1 - g_{0x}^2}}{p_{0x}^2(z_0)} \left( \frac{3}{p_{0x}^2(z_0)} - \frac{5}{1 + g_{0x}} \right) \operatorname{tg} \alpha, \quad (\text{П. 2})$$

$$\Delta A_y = x_0 \chi_1^{(1)} N_p \frac{\sqrt{1 - g_{0y}^2}}{p_{0y}^2(z_0)} \left[ \frac{1}{p_{0y}^2(z_0)} \left( \frac{2(1 + g_{0y})}{1 + g_{0x}} - 1 \right) - \frac{4}{1 + g_{0x}} + \frac{1}{1 + g_{0y}} \right] \operatorname{tg} \alpha, \quad (\text{П. 3})$$

$$\Delta B_x = x_0 \chi_1^{(1)} N_p (2z_0 - 1) \frac{1 - g_{0x}}{p_{0x}^2(z_0)} \left( \frac{3}{p_{0x}^2(z_0)} - \frac{2}{1 + g_{0x}} \right) \operatorname{tg} \alpha, \quad (\text{П. 4})$$

$$\Delta B_y = x_0 \chi_1^{(1)} N_p (2z_0 - 1) \frac{1 - g_{0y}}{p_{0y}^2(z_0)} \left[ \frac{1}{p_{0y}^2(z_0)} \left( \frac{2(1 + g_{0y})}{1 + g_{0x}} - 1 \right) - \frac{2}{1 + g_{0x}} \right] \operatorname{tg} \alpha, \quad (\text{П. 5})$$

$$\Delta D_x = \Delta D_{1x} + \Delta D_{2x}, \quad [\Delta D_{1x} = -2\bar{x}_0 N_p \left[ \chi_1^{(1)} \frac{1 - g_{0x}}{1 + g_{0x}} (2z_0 - 1) + \chi^{(1)} \left( 1 - \frac{2s}{l} \right) \right]],$$

$$\Delta D_{2x} = 2\bar{x}_0 \chi_1^{(1)} N_p \sqrt{\frac{1 - g_{0x}}{1 + g_{0x}}}, \quad \bar{x}_0 = x'_0 \sqrt{k/L}, \quad \Delta D_y = 0. \quad (\text{П. 6})$$

В приближении «однородной» среды имеем

$$\Delta A_x = \frac{\chi_1^{(1)} \beta_0}{kL} \frac{\sqrt{1 - g_{0x}^2}}{p_{0x}^2(z_0)} \frac{2(2z_0 - 1)(1 - g_{0x})}{p_{0x}^2(z_0)(1 + g_{0x})} \operatorname{tg} \alpha, \quad (\text{П. 7})$$

$$\Delta A_y = \frac{\chi_1^{(1)} \beta_0}{kL} \frac{\sqrt{1 - g_{0y}^2}}{p_{0y}^2(z_0)} \frac{2(2z_0 - 1)(1 - g_{0y})}{p_{0y}^2(z_0)(1 + g_{0x})} \operatorname{tg} \alpha, \quad (\text{П. 8})$$

$$\Delta B_x = \frac{\chi_1^{(1)} \beta_0}{kL} \frac{2(1 - g_{0x})}{p_{0x}^2(z_0)} \left( \frac{1}{1 + g_{0x}} - \frac{1}{p_{0x}^2(z_0)} \right) \operatorname{tg} \alpha, \quad (\text{П. 9})$$

$$\Delta B_y = \frac{\chi_1^{(1)} \beta_0}{kL} \frac{2(1 - g_{0y})}{p_{0y}^2(z_0)} \left( 1 - \frac{1 + g_{0y}}{p_{0y}^2(z_0)} \right) \frac{\operatorname{tg} \alpha}{1 + g_{0x}}, \quad (\text{П. 10})$$

$$\Delta D_x = \Delta D_{1x} = 2 \frac{\chi_1^{(1)} \beta_0 (1 - g_{0x})}{\sqrt{kL} (1 + g_{0x})}, \quad \Delta D_y = 0. \quad (\text{П. 11})$$

Значение интеграла из экспоненты в выражении (7) и  $|Q_\tau(z)|^2$  имеет вид

$$\int_{z_1}^z \frac{2k'_2 d\bar{z}}{Q_\tau(\bar{z})} = k'_2 \left( \bar{z}(1-\bar{z}) + i \sqrt{\frac{1+g_{0\tau}}{1-g_{0\tau}}} \bar{z} \right) \Big|_{z_1}^z, \quad (\text{П. 12})$$

$$|Q_\tau(z)|^2 = \left| Q_{0\tau}(z) + \frac{\chi^{(1)}}{kL} W_\tau(z) \right|^2 + \frac{2(1-g_{0\tau})}{p_{0\tau}^2(z_0)} \Delta Q_\tau \operatorname{tg} \alpha. \quad (\text{П. 13})$$

В приближении «неоднородной» среды

$$\Delta Q_x = x_0 \chi_1^{(1)} N_p \left( \frac{3}{p_{0x}^2(z_0)} - \frac{4}{1+g_{0x}} \right), \quad (\text{П. 14})$$

$$\Delta Q_y = x_0 \chi_1^{(1)} N_p \left[ \frac{1}{p_{0y}^2(z_0)} \left( \frac{2(1+g_{0y})}{1+g_{0x}} - 1 \right) - \frac{4}{1+g_{0x}} \right]. \quad (\text{П. 15})$$

В приближении «однородной» среды

$$\Delta Q_x = \frac{\chi_1^{(1)} \beta_0}{kL} \frac{2(2z_0 - 1)(1-g_{0x})}{p_{0x}^2(z_0)(1+g_{0x})}, \quad (\text{П. 16})$$

$$\Delta Q_y = \frac{\chi_1^{(1)} \beta_0}{kL} \frac{2(2z_0 - 1)(1-g_{0y})}{p_{0y}^2(z_0)(1+g_{0x})}. \quad (\text{П. 17})$$

Функция  $P(N_p)$  из формулы (10) имеет вид

$$P(N_p) = \left\{ 1 - \frac{1}{2} N_p \left[ \frac{a_{4x}(z_0)}{\sqrt{1-g_{0x}^2}} + \frac{a_{4y}(z_0)}{\sqrt{1-g_{0y}^2}} \right] \right\}^{-1}. \quad (\text{П. 18})$$

Функция  $\varphi_\tau(N_\tau, N_p)$  из формулы (12) имеет вид

$$\begin{aligned} \varphi_\tau(N_\tau, N_p) &= \left[ \left( 2z_0(1-z_0) - \frac{l^2}{6} \right) N_\tau \chi_2 N_p + \chi_1 N_p a_{4\tau}(z_0) \right] (1-g_{0\tau}^2)^{-1/2}, \\ a_{4\tau}(z) &= p_{0\tau}^2(z) + \frac{l^2}{6}(1-g_{0\tau}). \end{aligned} \quad (\text{П. 19})$$

Величина  $\Delta$  из формулы (9) в приближении «неоднородной» среды имеет вид

$$\Delta = -\frac{i \chi_2^{(1)} N_p \bar{x}_0 p_{0x}^2(z_0)}{1+g_{0x}}, \quad (\text{П. 20})$$

а в приближении «однородной» среды  $\Delta = 0$ .

### Литература

- [1] В. Ф. Бойцов. Опт. и спектр., 43, 1006, 1977.
- [2] В. Ф. Бойцов. Опт. и спектр., 43, 734, 1977.
- [3] В. Ф. Бойцов, С. Г. Слюсарев. Вестн. ЛГУ, 10, 35, 1979.
- [4] L. W. Caspereson. J. Opt. Soc. Am., 66, 1373, 1976.
- [5] В. Ф. Бойцов. Опт. и спектр., 47, 184, 1979.
- [6] В. Ф. Бойцов, С. Г. Слюсарев. Вестн. ЛГУ, 16, 38, 1979.

Поступило в Редакцию 22 мая 1980 г.